

II-156 湖の流動に及ぼす各種因子の影響について

信州大学工学部 正・富井 五郎
信州大学大学院 学 野口 均

1. まえがき 湖水は種々の原因により流動するが、湖への流入出の影響の小さい場合の流動は主として風によつて生ずる。また、風による流動は湖の水深・その変化・湖岸形状・風速・風向・流れの基礎方程式の各項などの各種因子により複雑に変化し、実在の湖に対して数値解析を行なうのではどの因子が流動に対して影響があるのか明確にならない。そこで本研究では、単純な形でモデル化した湖で流動の因子を換元解析を行ない、流動のメカニズムを明確にしようとするものであり、これにより実在の湖の流動の把握が容易になり、また数値解析において除ける因子があらかじめわかれれば解析も容易となり、計算時間が短縮できるなどの利点がある。数値解析には鉛直方向の余弦関数と水平方向の区分的多項式の積である近似関数を用いるGalerkin有限要素法を用いたが、詳細は文献1)を参照されたい。

2. 流れの基礎式と対象とした湖 浅水域の流れを支配する無次元化した基礎式は $\frac{\partial u_i}{\partial t} + R_0 u_i \frac{\partial u_j}{\partial x_j} = -R_0/F_r^2 \cdot \frac{\partial^2 u_i}{\partial x_j^2} + \partial(E_j \cdot \partial u_i / \partial x_j) / \partial x_j + f_{ij} \cdot u_j - f_{iz} \cdot U_i \quad \dots (1)$, $\frac{\partial u_j}{\partial x_j} = 0 \quad \dots (2)$ であり、境界条件は水面 $x_3=0$ で $\frac{\partial u_i}{\partial x_3} = T_i$, 水底 $x_3=-h$ で $U_j=0$ である。ここに $i=1, 2$, $j=1, 2, 3$ で総和規約を用いており、 u_i は x_j 方向の流速、 x_1, x_2 は静水面内に、 x_3 はそれらに直角上向きを正とした。 T_i は x_3 軸方向の風による剪断応力、 R_0 はRousey数、 F_r はFroude数、 E_j はEkman数、 f_{ij} はクロネッカーデルタで、各变数は湖の水深、水平拡がり、流速の代表量 D, L, h などにより無次元化されている。この後の上式のGalerkin有限要素法による離散式の説明は文献1)を参照されたい。なお、非線形方程式の解法は線形解を第一近似としてNewton-Laplace法によつた。つきに、単純な形でモデル化した湖として図-1, 2 の横2km, 縦4kmの矩形のものと図-3 に示す直径4kmの円形を選んだ。水深は岸が0.1m, 岸より一つ内側の節点で1.0m, それ以外は図-1は5.0m, 図-2は上半分が5.0m, 下半分が10.0m, また図-3, 図-4(a)は5.0m, 図-4(b)は20.0mである。

3. 数値解析結果と考察 解析結果は全て、湖面全体に風速3m/secの一様な風が吹いた時のもので、湖への流入出はないものとし、風による剪断応力、鉛直渦動粘性係数は文献2)と同様に求めた。また水平渦動粘性係

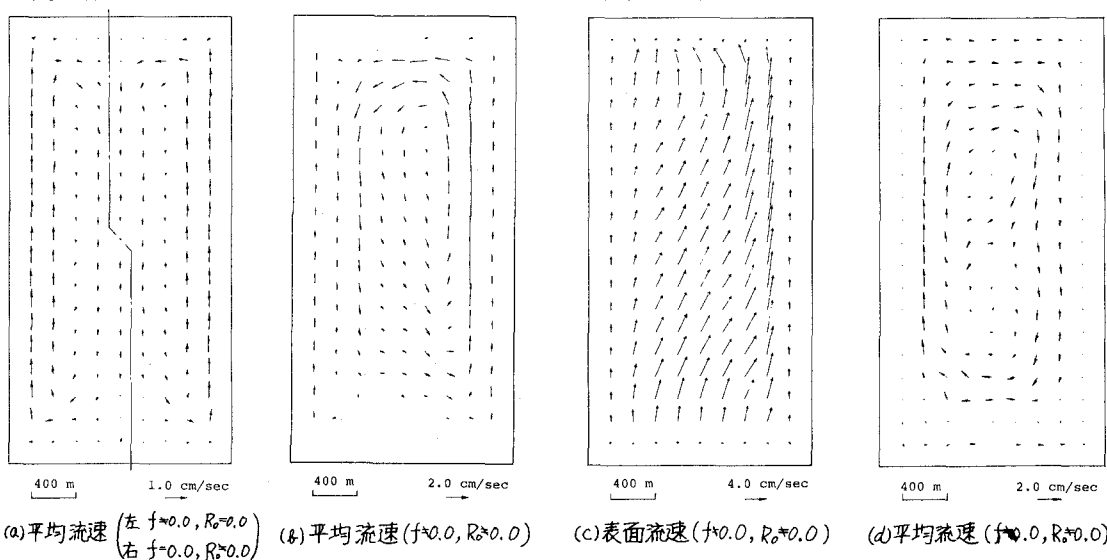
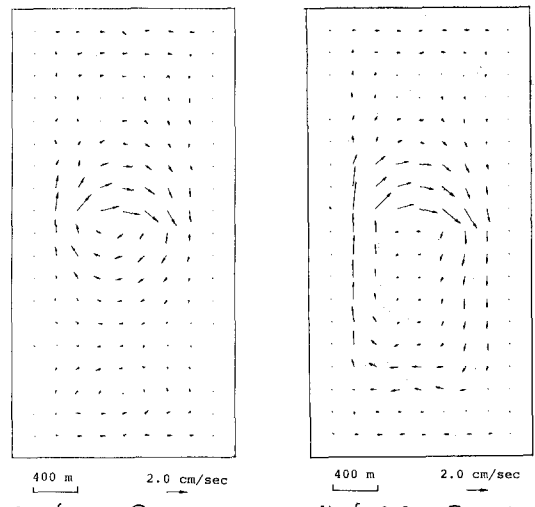


図-1 コリオリ項子と非線形項 R_0 による流速の変化 (風向は(a)(b)(c)が上向き、(d)が右向き)

数 A_H は要素の大きさを考慮し $A_H = 0.01 l^3$ (cm, sec単位, l は要素の最小寸法) より求めた。図-1 は基礎方程式のコリオリ項, 非線形項, つまり(i)式の右辺3,4項と左辺オフ項の有無(以下図ではこれらを+, R₀で示す)による流速変化を調べたものである。図-1(a)の左半分は $f=0.0, R_0=0.0$ の解(ここには示していない)に対しどんど変化がなく、縦の中央線に対しほぼ対称な水平環流を示している。また $f=0.0$ の時, $R_0 \neq 0.0$ としても (a) の右半分に見られるように流れのパターンはほとんど変化しない。しかし、 $f \neq 0.0$ の時は図-1(b)に見られるように大きな反時計回り方向の水平環流が生ずる。これは(c)に見られるように、コリオリ力により時計回り方向に偏った表層流が岸に当り、その付近の流れを加速し、この



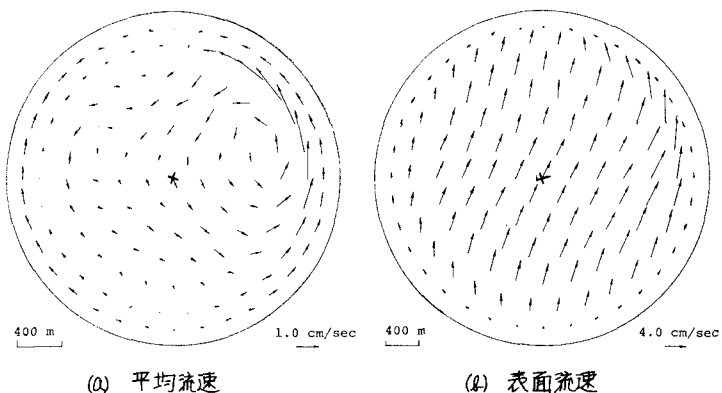
(a) $f=0.0, R_0=0.0$ (b) $f \neq 0.0, R_0=0.0$
図-2 水深変化がある場合の平均流速(風向右向き)

反時計回り方向の環流を起こしているものと思える。事実、同じ湖に右向きの風を吹かせた時には(b)に示すように時計回りの水平環流が生ずる。つきに図-2 は風向に直角に水深変化のある場合で、水深の変化する中央付近で強い水平環流が生じており、 $R_0=0.0$ と $R_0 \neq 0.0$ の解に大きな差がみられない。これは風向に直角な水深変化が水平環流に大きな影響を持つことを示し、既に指摘されていることである。図-3 は湖の形状

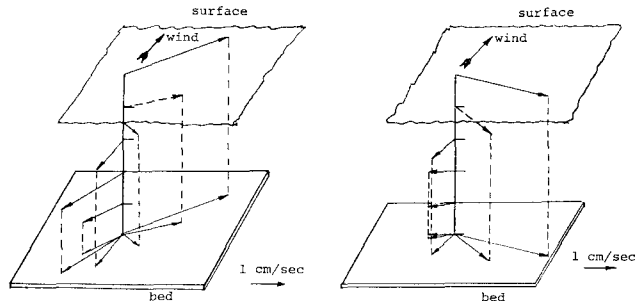
の影響を除くための円形湖の結果で、反時計回りの水平環流が生じている。また表面流速は岸付近を除くと図-1(c)とほぼ同じ値で、風向に対し時計回り方向に偏っている。この偏りはコリオリ力によるもので、図-4 に見られるように水深が大きい方がより大きくなる。以上より湖水の風による流動はこれに影響を及ぼす各種因子により全く違ったパターンを示すこともある。したがって解析モデルは全ての因子を考慮し、しかもこれらをできる限り正確に表現する方法が望ましい。

参考文献

- 1) 富所 五郎; FEMによる浅水域における三次元流動解析法, 第27回海岸工学講演会論文集, 1980
- 2) 余越 正一郎・富所 五郎; 風による諏訪湖の流動特性, 土木学会論文報告集, 第276号, 1978



(a) 平均流速 (b) 表面流速
図-3 円形湖の流速(風向は上向き, 水深 5.0m, $f \neq 0.0, R_0=0.0$)



(a) 水深 5.0m(図-3と同じ) (b) 水深 20.0m
図-4 流速ベクトル(図-3 ×印点)